

*к.т.н., доц. Иванов А.П.,
аспирант Ляшенко Л.В.
(ДонГТУ, г. Алчевск, Украина)*

ДИАГРАММЫ РАЗРУШЕНИЯ РАЗЛИЧНЫХ МЕТАЛЛОВ МЕТОДОМ «СРЕЗА РЕЗЬБЫ»

Отримані діаграми силових витрат різних матеріалів. Знайдені найбільш характерні відмінності цих діаграм з яких можливо судити о властивостях матеріалів.

Проблема и ее связь с научными и практическими задачами.

При исследовании механических характеристик металлических материалов оценка больших показателей производится через диаграмму разрушения в осях сила - перемещение [1,2]. Решаются задачи определения модуля упругости, положения перехода материала от предела упругости к пределу текучести, величины энергии разрушения при испытании стали на изгиб и других параметров.

Анализ исследований и публикаций. Для получения диаграмм различных материалов был использован метод «среза резьбы» [3]. Этот метод позволяет установить реальную прочность конструкции без ее ослабления и прекращения работы.

Цель и задача работы – выявить наиболее характерные отличия диаграмм различных материалов и найти наиболее выраженные силовые показатели работы материала.

Для непосредственного установления силовых затрат на разрушение материала может быть использована диаграмма усилие – время. Силовым затратам отвечает площадь под диаграммой.

Площадь под диаграммой делится на упругую, пластическую и разрушающую. По этим характеристикам можно судить о различных свойствах материалов.

Метод «среза резьбы» заключается в ведении анкера в металлическую конструкцию. Как анкер используется винт, введенный в тело испытанного материала [4,5]. К винту прикладывается нагрузка, и соединения приводится к разрушению. Следует отметить, что метод «среза резьбы» носит локальный характер, который разрушает, без нарушения целостности конструкции.

Впервые этот метод определения прочности металла был предложен Изосимовым И.В., в дальнейшем разработка этого метода велась вместе с автором этой статьи [3].

Процесс испытания металла методом «среза резьбы» происходит при постоянной скорости подачи усилия на испытательный винт; изменения усилия на испытываемом винте во времени зависит только от характера разрушения испытываемого материала. Параллельная запись происходящего процесса при разрушении испытываемого материала на бумагу в координатах «сила на испытательном винте – время», т.е. равномерное, с постоянной скоростью перемещения бумаги, позволяет записать диаграмму.

Постановка задачи. Выявить наиболее характерные отличия диаграмм различных материалов и найти наиболее выраженные силовые показатели работы материала.

Изложение материала и его результаты. Общий вид диаграмм испытания различных материалов методом «среза резьбы» приведен на рис. 1.

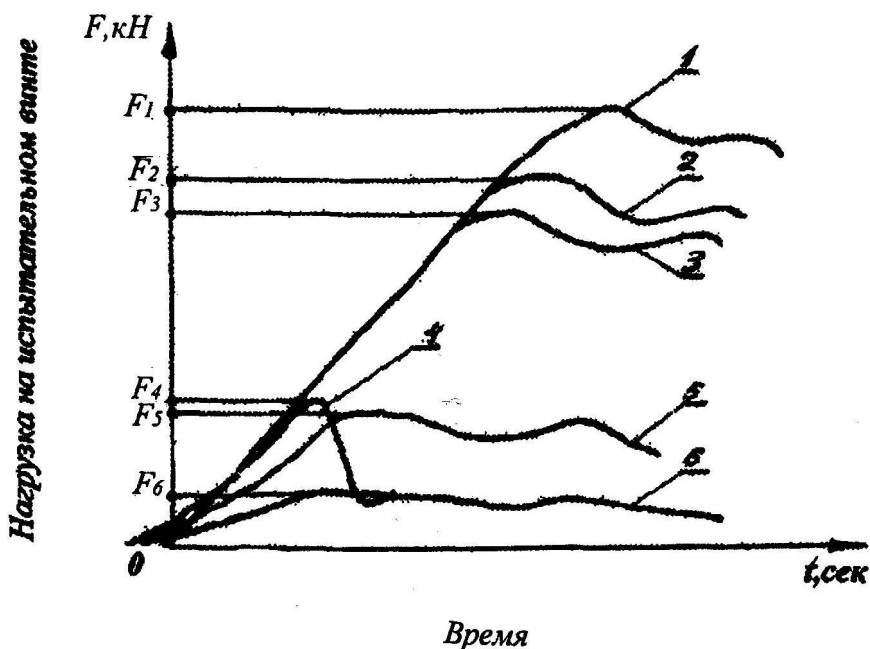


Рисунок 1 – Диаграммы разрушения различных материалов методом "среза резьбы": 1 – сталь 17Г1СУ; 2 – сталь 10Г2С; 3 – сталь ст3пс; 4 – чугун; 5 – медь; 6 – алюминий

Полученные на испытательной машине графики сканируются и распознаются с помощью программы FineReader и запоминаются в формате *.bmp. Этот формат читает программа Mathcad. Она воспринимает файлы с расширением *.bmp и строит графики в координатных осях. Далее стандартная программа Mathcad аппроксимирует графики и находит их площади. По графику определяется площадки упругости,

пластики и разрушения и с помощью изменения пределов формулы определяются их площади (рис.2-6).

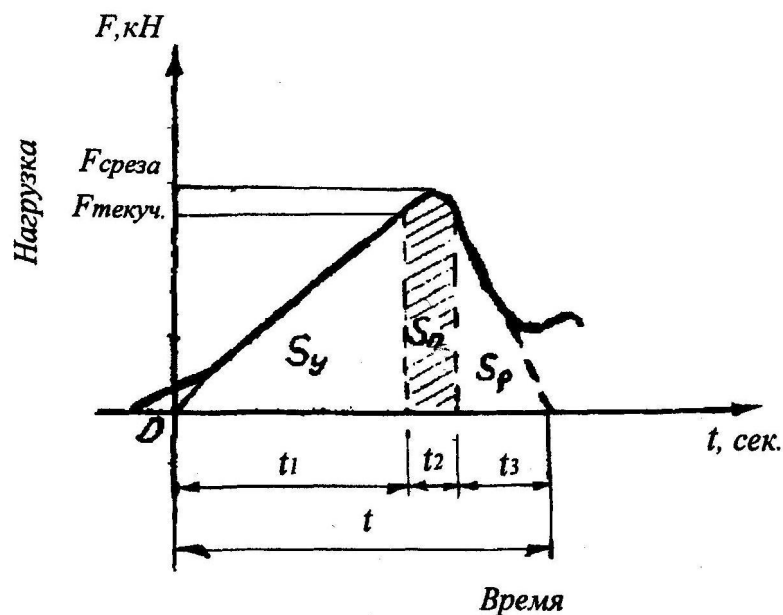


Рисунок 2 – Диаграмма испытания чугуна методом “реза резьбы”, разделенная по площадкам: S_y – площадь упругости; S_p – площадь пластичности; S_{ρ} – площадь разрушения

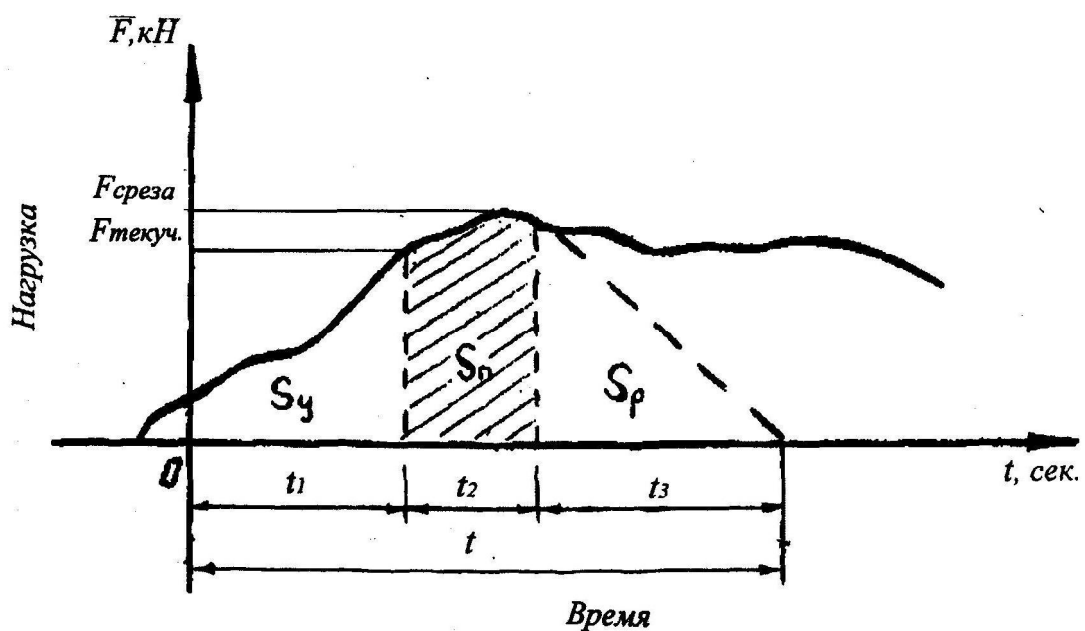


Рисунок 3 – Диаграмма испытания меди методом "реза резьбы", разделенная по площадкам: S_y – площадь упругости; S_p – площадь пластичности; S_{ρ} – площадь разрушения

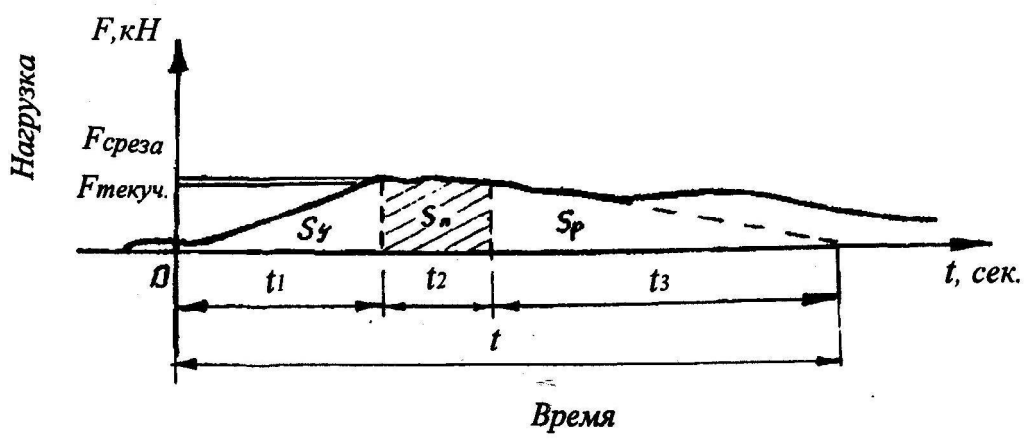


Рисунок 4 – Диаграмма испытания алюминия методом "среза резьбы", разделенная по площадкам: S_y – площадь упругости; S_n –площадь пла-
стичности; S_p - площадь разрушения

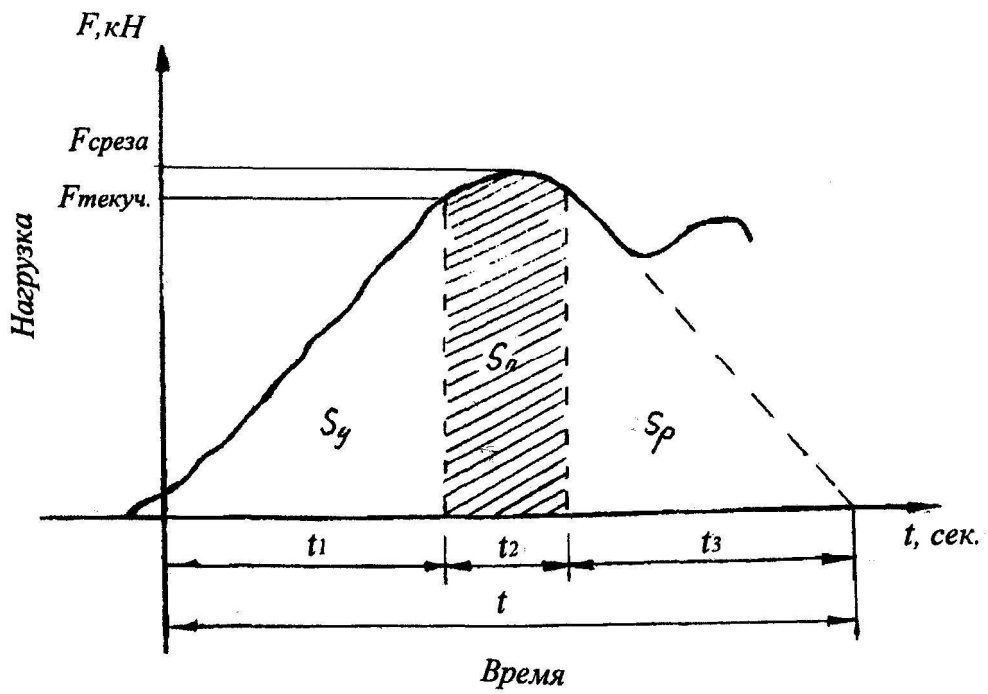


Рисунок 5 – Диаграмма испытания стали 10Г2С методом "среза резь-
бы", разделенная по площадкам: S_y – площадь упругости; S_n –площадь
пластичности; S_p - площадь разрушения

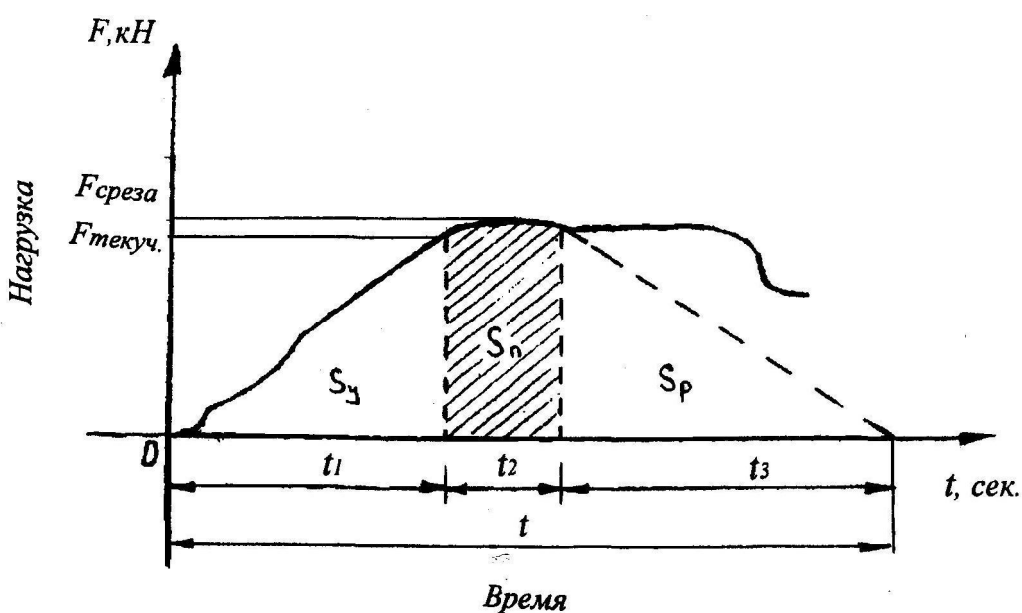


Рисунок 6 – Диаграмма испытания стали Зсп деформированной методом "среза резьбы", разделенная по площадкам: S_y – площадь упругости; S_p – площадь пластичности; S_r - площадь разрушения

Имея такие значения как S_y , S_p , S_r можно осуществить оценку различных свойств материала. Для проведения сравнительного анализа, составления более четкой картины работы различных материалов составляется таблица средних значений результатов испытаний (табл.1).

Таблица 1 – Средние значения результатов экспериментов по различным материалам

Материал	Площадь упругости S_y	Площадь пластичности S_p	Площадь разрушения S_r	Общая площадь S	Прочность $\tau_{cr, \text{кн}/\text{см}^2}$
Чугун	24,91	12,19	9,6	46,7	11,7
Медь	27,12	31,46	39,8	98,4	10,2
Алюминий	9,82	14,02	23,57	47,41	4,3
Сталь	102,18	78,47	87,39	268,04	23,5
Сталь Зсп	82,59	73,4	90,7	246,69	21,0

По полученным на самописце диаграммам и данным таблицы 1 можно сказать, что площади этих диаграмм различны для разных материалов и сопоставимы между собой:

– для чугуна характерны малые площади пластичности и разрушения, что свидетельствует о высокой хрупкости материала. Также чугун обладает малой общей площадью, следовательно, материал значительно менее прочный по сравнению со сталью и даже медью;

– у меди площади упругости и пластики достаточно большие и почти равны по значению, а площадь разрушения значительно больше, чем у алюминия и чугуна – это свидетельствует о высокой пластичности металла;

– алюминий из всех взятых материалов оказался наименее прочным. У него очень маленькая площадка упругости, небольшая площадь пластичности и относительно длинная площадь разрушения. Это говорит о том, что материал при низкой прочности обладает хорошими пластическими свойствами;

– сталь 10Г2С наиболее прочный из испытываемых материалов. У него большая площадь упругости, пластики и разрушения;

– сталь Зпс – деформированная вытяжкой заметно менее прочная, чем сталь 10Г2С и обладает соответственно более низкими показателями площади упругости, пластики и разрушения.

Выводы и направление дальнейших исследований. Характерные участки диаграмм разрушения отдельных материалов позволяет разделить их по особенностям пластики и прочности. Такой поход позволяет решать задачи по выявлению состояния материала в период эксплуатации при различных условиях нагружений. Необходимо продолжить эти исследования при фиксированных условиях нагружения. Здесь предполагается рассматривать условия растяжения, чистого сжатия при деформировании в предела упругого и пластического деформирования.

Получены диаграммы силовых затрат различных материалов. Найдены более характерные отличия этих диаграмм по которым можно судить о свойствах материалов.

Diagrams of power expenses of various materials are received. More characteristic differences of these diagrams on which are found is possible to judge about properties of materials.

Библиографический список.

1. Фридман Я.Б. Механические свойства металлов. Изд. 3-е. перераб. и доп. В двух частях. Часть вторая. Механические испытания. Конструкционная прочность. М: «Машиностроение». 1974.- 368 с.

2. Методы испытания контроля и исследования машиностроительных материалов. Справочное пособие в 3-х томах. Под общей редакцией чл.-корр. АН СССР А.Т. Туманова..

Т.II. Методы исследования механических свойств металлов .Под редакцией докторов тех. наук С.Н. Кишкиной и Н.М. Скалярова. М: «Машиностроение», 1974.- 320 с.

3. А.С.563595 СССР. Способ определения прочности материала на срез/ М.: Московский инженерно - строительный институт: Авт. изобрет. И.В. Изосимов. Заявл.16.06.75. 2144329/28. Опубл. в Б.И., 1979, N24.

4. Иванов А. П. Определение прочности металла в стальных конструкциях без отбора проб // Бюллетень строительной техники. -1990. - № 4. - С. 13 -14.

5. Иванов А.П. Механика разрушения материала при срезе резьбы // Новые методы расчета, материалы и технологии в строительстве: Материалы международной научно - технической конференции. Алчевск: ДГМИ -1993. - С. 136-138.

Рекомендовано к печати д.т.н., проф. Давиденко А.И.